



АКАДЕМИЯ НАУК СССР

РАДИОТЕХНИКА
и
ЭЛЕКТРОНИКА

Том XXXI

(ОТДЕЛЬНЫЙ ОТТИСК)

5

МОСКВА · 1986

УДК 621.396.96.01'03

**ОЦЕНКА ПАРАМЕТРОВ СЛОЖНОЙ ЦЕЛИ
ПРИ ПРОСТРАНСТВЕННО-ВРЕМЕННОЙ ОБРАБОТКЕ СИГНАЛОВ**

Трифонов А. П., Лукин А. Н.

Найдена корреляционная матрица оценок параметров цели, состоящей из совокупности блестящих точек или точечных излучателей (при пассивной локации). Рассмотрен общий случай, включающий расположение цели как в дальней зоне, так и в зоне Френеля. Получены формулы, учитывающие влияние несущественных параметров сигнала и справедливые для антенн любой практической используемой размерности. В качестве примера найдены характеристики оценок местоположения совокупности двух излучателей. Экспериментально подтверждена возможность увеличения точности оценки дальности сложного источника по сравнению с точечным.

ВВЕДЕНИЕ

Известные результаты по оценке параметров источников полезных сигналов в основном получены для полей, которые имеют плоские или сферические волновые фронты [1–4] либо представляют собой совокупность плоских волновых фронтов [5]. В ряде случаев поля реальных сложных целей не могут быть описаны в рамках указанных моделей. Так, широко используемая модель сложной цели представляет совокупность связанных между собой точечных рассеивателей [6]. Когда число рассеивателей велико, рассеянную волну обычно аппроксимируют гауссовским случайным полем [5, 6]. Однако на практике часто встречаются цели, которые удовлетворительно описываются сравнительно небольшим числом точечных рассеивателей [7–9]. Использование в этом случае гауссовой аппроксимации рассеянного поля может привести к существенным погрешностям. Альтернативный подход к задаче состоит в представлении рассеянного поля совокупностью квазидетерминированных волн. Если необходимо число рассеивателей и их взаимное расположение известны, то для синтеза алгоритмов оценки параметров цели может быть использована квазидетерминированная модель рассеянного поля. Класс целей, небольшое число точечных рассеивателей которых образует жесткую структуру, связанную с геометрическими характеристиками их поверхности, достаточно широк [7–9]. Так, в [8] приведены экспериментальные результаты, которые показывают, что для ряда сложных целей число и взаимное расположение точечных рассеивателей сохраняется при изменении ракурса наблюдения до 60° . В задачах пассивной локации к подобного рода объектам, поля излучения которых целесообразно описывать совокупностью квазидетерминированных волн, относятся радиотехнические комплексы с несколькими излучателями [10], системы радиомаяков и т. д. Если такая цель находится, например, в зоне Френеля приемной антенны или в неоднородной среде, то оказывается необходимым [1–3, 11] учет кривизны волнового фронта сигнала каждого рассеивателя. В этих случаях поле, рассеянное сложной целью, описывается совокупностью сферических волн, отраженных от ее блестящих точек. Характерной особенностью сложных целей является расширение множества неизвестных параметров. К их числу кроме координат цели относятся параметры, определяющие размер цели, ее форму, ориентацию (ракурс) и

другие. При решении задач оценки параметров сложной цели появляется необходимость более полного учета как существенных, подлежащих оценке параметров, так и несущественных, в оценке которых нет необходимости.

Положим, что сложная цель представляет собой совокупность p точечных рассеивателей (или p источников при пассивной локации). Пусть в выбранной системе отсчета $\mathbf{l}_i = \{l_{i1}, l_{i2}, l_{i3}\}$ – координаты i -го переизлучателя; $\hat{\rho}_i$ – вектор, соединяющий начало координат O и i -й переизлучатель; ρ_i – вектор, соединяющий i -ю блестящую точку цели с точкой приемной антенны $\mathbf{r} \in V$, V – область пространства, занятая антенной. Эта область может быть непрерывной (плоской или линейной), дискретно-непрерывной или дискретной, т. е. состоящей из отдельных точек, образующих пространственную, плоскую или линейную решетку. Зондирующий сигнал излучается из точки O и отражается от множества p рассеивателей цели. Рассеянный сигнал в точке \mathbf{r} приемной антенны имеет вид

$$(1) \quad s(t, \mathbf{r}, \mathbf{q}) = \sum_{i=1}^p \{ x_i F(t - \tau_i) \cos[\omega_0(t - \tau_i) + \Psi(t - \tau_i)] + \\ + y_i F(t - \tau_i) \sin[\omega_0(t - \tau_i) + \Psi(t - \tau_i)] \},$$

где $\mathbf{q} = \{q_1, \dots, q_p\}$ – неизвестные параметры цели, полностью или частично подлежащие оценке; $x_i = A_i \cos \varphi_i$, $y_i = A_i \sin \varphi_i$, A_i , φ_i – неизвестные амплитуда и начальная фаза сигнала, рассеянного блестящей точкой цели; $\tau_i = \tau_i(\mathbf{l}_i, \mathbf{q}) = [\hat{\rho}_i(\mathbf{l}_i, \mathbf{q}) + \rho_i(\mathbf{r}, \mathbf{l}_i, \mathbf{q})]/c$ – время, c – скорость распространения колебаний; $\hat{\rho}_i(\mathbf{l}_i, \mathbf{q}) = |\hat{\rho}_i|$; $\rho_i(\mathbf{r}, \mathbf{l}_i, \mathbf{q}) = |\rho_i|$; ω_0 , $F(t)$, $\Psi(t)$ – центральная частота, а также законы амплитудной и фазовой модуляции узкополосного зондирующего сигнала. Положим, что прием сигнала осуществляется на фоне аддитивного гауссовского пространственно-временного белого шума $n(t, \mathbf{r})$ с односторонней спектральной плотностью N_0 . Тогда на антенну в течение интервала времени $[0; T]$ наблюдается поле

$$(2) \quad \xi(t, \mathbf{r}) = s(t, \mathbf{r}, \mathbf{q}_0) + n(t, \mathbf{r}).$$

Рассмотрим потенциальную точность оценок максимального правдоподобия параметров сложной цели в общем случае, включающем расположение цели в зоне Френеля приемной антенны и в дальней зоне.

1. ВЫХОДНОЙ СИГНАЛ ПРИЕМНИКА МАКСИМАЛЬНОГО ПРАВДОПОДОБИЯ

Логарифм функционала отношения правдоподобия (ЛФОП) определяется выражением [4, 5, 9, 12]

$$(3) \quad M(x_i, y_i, \mathbf{q}) = \frac{2}{N_0} \int_0^T \int_V \xi(t, \mathbf{r}) s(t, \mathbf{r}, \mathbf{q}) dt d\mathbf{r} - \\ - \frac{1}{N_0} \int_0^T \int_V s^2(t, \mathbf{r}, \mathbf{q}) dt d\mathbf{r}, \quad i = \overline{1, p}.$$

Подставим (1) в (3) и перепишем (3) в виде

$$(4) \quad M(\boldsymbol{\pi}, \mathbf{q}) = \boldsymbol{\eta}(\mathbf{q}) \boldsymbol{\pi}^T - \boldsymbol{\pi} \hat{\mathbf{Q}}(\mathbf{q}) \boldsymbol{\pi}^T / 2,$$

где верхний индекс T – знак транспонирования;

$$\boldsymbol{\pi} = \{x_1, x_2, \dots, x_p, y_1, y_2, \dots, y_p\} \text{ и } \boldsymbol{\eta}(\mathbf{q}) = \{X_1(\mathbf{q}), \\ X_2(\mathbf{q}), \dots, X_p(\mathbf{q}), Y_1(\mathbf{q}), Y_2(\mathbf{q}), \dots, Y_p(\mathbf{q})\}$$

— $1 \times 2p$ матрицы-строки;

$$(5) \quad \left. \begin{array}{c} X_i(\mathbf{q}) \\ Y_i(\mathbf{q}) \end{array} \right\} = \frac{2}{N_0} \int_0^T \int_V \xi(t, \mathbf{r}) F(t - \tau_i) \times$$

$$\times \begin{Bmatrix} \cos \\ \sin \end{Bmatrix} [\omega_0(t - \tau_i) + \Psi(t - \tau_i)] dt d\mathbf{r};$$

$$(6) \quad \hat{\mathbf{Q}}(\mathbf{q}) = z^2 \begin{vmatrix} \mathbf{Q}_c(\mathbf{q}) & \mathbf{Q}_s(\mathbf{q}) \\ -\mathbf{Q}_s(\mathbf{q}) & \mathbf{Q}_c(\mathbf{q}) \end{vmatrix}$$

— матрица $2p \times 2p$; $\mathbf{Q}_c(\mathbf{q}) = \|Q_{cij}(\mathbf{q})\|$; $\mathbf{Q}_s(\mathbf{q}) = \|Q_{sij}(\mathbf{q})\|$ — матрицы $p \times p$, элементы которых

$$\left. \begin{array}{c} Q_{cij}(\mathbf{q}) \\ Q_{sij}(\mathbf{q}) \end{array} \right\} = \frac{1}{z^2 N_0} \int_0^T \int_V F(t - \tau_i) F(t - \tau_j) \times$$

$$\times \begin{Bmatrix} \cos \\ \sin \end{Bmatrix} [\omega_0(\tau_i - \tau_j) - \Psi(t - \tau_i) + \Psi(t - \tau_j)] dt d\mathbf{r};$$

$z^2 = V_0 \int_0^T F^2(t) dt / N_0$ — отношение сигнал/шум для сигнала с единичной амплитудой, рассеянного одной блестящей точкой; $V_0 = \int_V d\mathbf{r}$ — объем (площадь, длина) приемной антенны.

Используя формулы скалярно-матричного дифференцирования [13], максимизируем ЛФОП (4) по π . Считая матрицу $\hat{\mathbf{Q}}(\mathbf{q})$ (6) невырожденной, получим

$$(7) \quad \max_{\pi} M(\pi, \mathbf{q}) = M(\mathbf{q}) = \eta(\mathbf{q}) \hat{\mathbf{Q}}^{-1}(\mathbf{q}) \eta^T(\mathbf{q}) / 2.$$

Следовательно, приемник должен вырабатывать ЛФОП (7) и определять оценку максимального правдоподобия \mathbf{q}_n как точку, в которой $M(\mathbf{q})$ достигает абсолютного максимума.

Рассмотрим кратко основные свойства ЛФОП (7). Подставляя (2) в (7), представим аналогично [4, 12] ЛФОП в виде суммы сигнальной и шумовой функций

$$(8) \quad M(\mathbf{q}) = S(\mathbf{q}_0, \mathbf{q}) + N(\mathbf{q}) + p,$$

где $N(\mathbf{q}) = M(\mathbf{q}) - \langle M(\mathbf{q}) \rangle$, а

$$(9) \quad \begin{aligned} S(\mathbf{q}_0, \mathbf{q}) &= \langle M(\mathbf{q}) \rangle - p = f \hat{\mathbf{Q}}^{-1}(\mathbf{q}) f^T / 2; \quad f = f(\mathbf{q}_0, \mathbf{q}); \\ f(\mathbf{q}_0, \mathbf{q}) &= \{f_c(\mathbf{q}_0, \mathbf{q}), f_s(\mathbf{q}_0, \mathbf{q})\}; \quad f_c(\mathbf{q}_0, \mathbf{q}) = \{f_{ci}(\mathbf{q}_0, \mathbf{q})\}; \\ f_s(\mathbf{q}_0, \mathbf{q}) &= \{f_{si}(\mathbf{q}_0, \mathbf{q})\}; \quad i = \overline{1, p}; \end{aligned}$$

$$f_{ci}(\mathbf{q}_0, \mathbf{q}) = z^2 \sum_{j=1}^p [x_{0j} S_{cji}(\mathbf{q}_0, \mathbf{q}) - y_{0j} S_{sji}(\mathbf{q}_0, \mathbf{q})];$$

$$f_{si}(\mathbf{q}_0, \mathbf{q}) = z^2 \sum_{j=1}^p [x_{0j} S_{sji}(\mathbf{q}_0, \mathbf{q}) + y_{0j} S_{cji}(\mathbf{q}_0, \mathbf{q})];$$

$$(10) \quad \left. \begin{array}{c} S_{cij}(\mathbf{q}_0, \mathbf{q}) \\ S_{sij}(\mathbf{q}_0, \mathbf{q}) \end{array} \right\} = \frac{1}{z^2 N_0} \int_0^T \int_V F(t - \tau_{0i}) F(t - \tau_j) \times$$

$$\times \begin{Bmatrix} \cos \\ \sin \end{Bmatrix} [\omega_0(\tau_{0i} - \tau_j) - \Psi(t - \tau_{0i}) + \Psi(t - \tau_j)] dt d\mathbf{r};$$

$$\begin{aligned} \tau_{0i} &= \tau_i(\mathbf{q}_0); \quad \tau_j = \tau_j(\mathbf{q}); \quad i, j = \overline{1, p}; \quad x_{0i} = A_{0i} \cos \varphi_{0i}; \\ y_{0i} &= A_{0i} \sin \varphi_{0i}; \quad \mathbf{q}_0 \end{aligned}$$

— истинные значения неизвестных параметров. Выполняя усреднение по реализациям помехи $n(t, \mathbf{r})$, для корреляционной функции поля $N(\mathbf{q})$ получим

$$(11) \quad K_N(\mathbf{q}_1, \mathbf{q}_2) = \mathbf{f}_1 \hat{\mathbf{Q}}_1^{-1} \mathbf{S}(\mathbf{q}_1, \mathbf{q}_2) \hat{\mathbf{Q}}_2^{-1} \mathbf{f}_2^T + \\ + \text{Sp}[\hat{\mathbf{Q}}_1^{-1} \tilde{\mathbf{S}}(\mathbf{q}_1, \mathbf{q}_2) \hat{\mathbf{Q}}_2^{-1} \tilde{\mathbf{S}}^T(\mathbf{q}_1, \mathbf{q}_2)]/2,$$

где $\text{Sp}(\cdot)$ — шпур (след) матрицы (сумма ее диагональных элементов),

$$\tilde{\mathbf{S}}(\mathbf{q}_1, \mathbf{q}_2) = \hat{z}^2 \mathbf{S}(\mathbf{q}_1, \mathbf{q}_2) = \hat{z}^2 \begin{vmatrix} S_c(\mathbf{q}_1, \mathbf{q}_2) & S_s(\mathbf{q}_1, \mathbf{q}_2) \\ -S_s(\mathbf{q}_1, \mathbf{q}_2) & S_c(\mathbf{q}_1, \mathbf{q}_2) \end{vmatrix}$$

— матрица $2p \times 2p$; $S_c(\mathbf{q}_1, \mathbf{q}_2) = \|S_{cij}(\mathbf{q}_1, \mathbf{q}_2)\|$; $S_s(\mathbf{q}_1, \mathbf{q}_2) = \|S_{sij}(\mathbf{q}_1, \mathbf{q}_2)\|$ — матрицы $p \times p$; $\mathbf{f}_i = \mathbf{f}(\mathbf{q}_0, \mathbf{q}_i)$; $\hat{\mathbf{Q}}_i = \hat{\mathbf{Q}}(\mathbf{q}_i)$; $i = 1, 2$. Полагая в (9), (11) $\mathbf{q}_1 = \mathbf{q}_2 = \mathbf{q}_0$ и используя соотношения

$$(12) \quad \tilde{\mathbf{S}}(\mathbf{q}_0, \mathbf{q}_0) = \hat{\mathbf{Q}}(\mathbf{q}_0); \quad \mathbf{f}_0 = \pi_0 \tilde{\mathbf{S}}(\mathbf{q}_0, \mathbf{q}_0),$$

находим отношение сигнал/шум на выходе приемника (7) для принятого сигнала

$$z_0^2 = S^2(\mathbf{q}_0, \mathbf{q}_0) / K_N(\mathbf{q}_0, \mathbf{q}_0) = z_1^4 / [4(z_1^2 + p)],$$

$z_1^2 = \pi_0 \hat{\mathbf{Q}}(\mathbf{q}_0) \pi_0^T$ — отношение сигнал/шум на выходе приемника (3) при априори известном π . Для обеспечения высокой апостериорной точности оценки [4, 12] необходимо, чтобы $z_0^2 \gg 1$. Это неравенство всегда выполняется, если $z_1^2 \gg 1$ и $z_1^4 \gg p$. В общем случае условие высокой апостериорной точности оценки сводится к требованию $z^2 \rightarrow \infty$, где

$$(13) \quad z^2 = \hat{z}^2 \sum_{i=1}^p A_{0i}^2$$

— отношение удвоенной суммарной энергии сигналов от всех рассеивателей цели на приемной антенне к спектральной плотности пространственно-временного белого шума. Сформулированное условие высокой апостериорной точности оценки, при выполнении которого справедливы все последующие результаты, фактически сводится к требованию отсутствия аномальных ошибок. Необходимая для этого величина отношения сигнал/шум (13) в зависимости от протяженности антенны, числа неизвестных параметров и т. д. может быть найдена методом анализа пороговых эффектов в зоне Френеля, развитым в [14–16].

2. КОРРЕЛЯЦИОННАЯ МАТРИЦА ОЦЕНОК

В условиях высокой апостериорной точности корреляционная матрица оценок \mathbf{q}_m определяется выражением [12]

$$(14) \quad \mathbf{K}(\mathbf{q}_m / \mathbf{q}_0, A_{0i}, \varphi_{0i}) = \hat{\mathbf{S}}^{-1} \left| \frac{\partial^2 K_N(\mathbf{q}_1, \mathbf{q}_2)}{\partial q_{1k} \partial q_{2n}} \right|_{\mathbf{q}_0} \hat{\mathbf{S}}^{-1},$$

где

$$(15) \quad \hat{\mathbf{S}} = \left| - \frac{\partial^2 S(\mathbf{q}_0, \mathbf{q})}{\partial q_k \partial q_n} \right|_{\mathbf{q}_0}; \quad k, n = \overline{1, \mu}.$$

Подставим (9), (11) в (14), (15) и выполним дифференцирование, принимая во внимание (12). В результате имеем

$$(16) \quad \mathbf{K}(\mathbf{q}_m / \mathbf{q}_0, A_{0i}, \varphi_{0i}) = z^{-2} \mathbf{G}^{-1} + p z^{-4} \mathbf{G}^{-1} \hat{\mathbf{K}}_N \mathbf{G}^{-1},$$

где

$$(17) \quad \mathbf{G} = \|\text{Sp}(\Pi \mathbf{B}_{kn})\|; \quad \hat{\mathbf{K}}_N = p^{-1} \|\text{Sp}(\mathbf{Q}^{-1}(\mathbf{q}_0) \mathbf{B}_{kn})\|$$

— матрицы $\mu \times \mu$, а $\Pi = \pi_0^T \pi_0 / \sum_{i=1}^p A_{0i}^2$;

$$(18) \quad B_{kn} = \left\{ \frac{\partial^2 S(\mathbf{q}_1, \mathbf{q}_2)}{\partial q_{1k} \partial q_{2n}} + \frac{\partial S(\mathbf{q}_1, \mathbf{q}_2)}{\partial q_{1k}} Q^{-1}(\mathbf{q}_0) \frac{\partial S(\mathbf{q}_1, \mathbf{q}_2)}{\partial q_{2n}} \right\}_{\mathbf{q}_1=\mathbf{q}_2=\mathbf{q}_0}$$

— матрицы $2p \times 2p$. Отметим, что при отношении сигнал/шум $z^2 \gg p$ вторым слагаемым в (16) можно пренебречь.

Рассмотрим случай пассивной локации множества p источников. Положим, что излучаемые элементарными источниками квазигармонические сигналы известны с точностью до амплитуды, начальной фазы и параметров \mathbf{q} . Задержка сигнала i -го источника имеет вид

$$(19) \quad \tau_i = \tau_i(\mathbf{q}) = \rho_i(\mathbf{r}, \mathbf{l}_i, \mathbf{q})/c.$$

Для расчета характеристик оценки параметров \mathbf{q} сложного источника достаточно в (10) подставить значение задержки (19) и, положив $F(t)=1$, $\Psi(t)=0$, воспользоваться формулой (16).

3. ОЦЕНКА ДАЛЬНОСТИ И УГЛОВОГО ПОЛОЖЕНИЯ СОВОКУПНОСТИ ДВУХ ИСТОЧНИКОВ

В качестве примера рассмотрим оценку дальности R и углового положения θ сложного источника, включающего излучатели 1 и 2 (рис. 1), каждый из которых излучает гармонические колебания с частотой ω_0 .

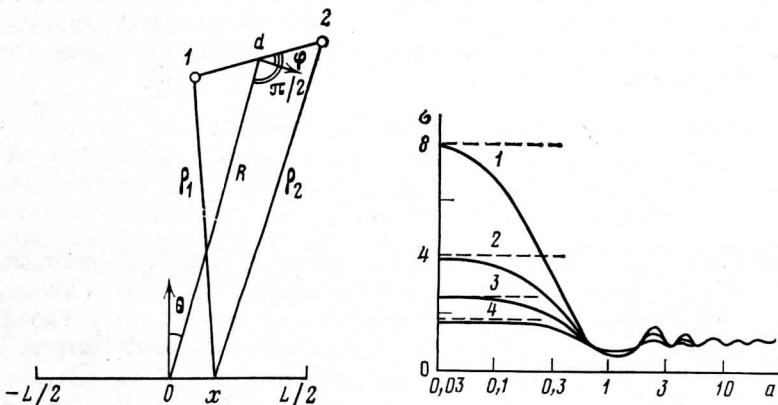


Рис. 1

Рис. 1. Взаимное расположение линейной антенны и двухточечного источника

Рис. 2

Рис. 2. Зависимость дисперсии оценки дальности от нормированного размера источника; 1 — $\Delta\varphi=0$, 2 — $\pi/6$, 3 — $\pi/4$, 4 — $\pi/3$

Полагаем, что расстояние между излучателями d и ракурс сложного источника (т. е. угол ψ) известны. Назовем этот сложный источник двухточечным. Пусть двухточечный источник находится не ближе зоны Френеля приемной антенны и антенна находится не ближе зоны Френеля источника. Тогда, раскладывая в ряд (19) по малым параметрам x/R , d/R и удерживая в разложении лишь члены второго порядка малости, получим

$$(20) \quad \tau_i = \{[x \cos \theta + (-1)^i d \cos \psi/2]^2/2R - (-1)^i d \sin \psi/2 - x \sin \theta + R\}/c; \quad i=1, 2.$$

Подставляя (10) в (16) с учетом (20) и пренебрегая при $p=2$ вторым слагаемым в (16), получим корреляционную матрицу оценок R_m и θ_m . Однако выражения для корреляционной матрицы оказываются весьма громоздкими и трудно обозримыми даже при $p=2$ и $\mu=2$. Эти выражения могут быть записаны в компактной форме, когда видимый размер источ-

ника $d_0 = d \cos \psi$ существенно меньше или существенно больше линейного элемента разрешения антенны $\chi = \lambda R / L \cos \theta$ [17]. Поэтому приведем здесь окончательные формулы для характеристик оценки лишь при $a \ll 1$ и $a \gg 1$, где $a = d_0 / \chi$. Когда $a \ll 1$, видимый размер источника много меньше линейного элемента разрешения приемной антенны. Назовем такой источник (или двухточечную цель при активной локации) неразрешаемым. Тогда элементы корреляционной матрицы оценки дальности R_m и угла θ_m определяются выражениями

$$(21) \quad \bar{D}_2(R_m) = \langle (R_m - R_0)^2 \rangle = \frac{180\lambda^2 R_0^4}{\pi^2 z^2 L^4 \cos^4 \theta_0} \{ 1 + 2\sqrt{\alpha_1 \alpha_2} \cos \Delta\varphi + \\ + 15b^2 [1 - 2\sqrt{\alpha_1 \alpha_2} \cos \Delta\varphi - (\alpha_1 - \alpha_2)^2 / (1 + 2\sqrt{\alpha_1 \alpha_2} \cos \Delta\varphi)] \}^{-1},$$

$$(22) \quad \bar{D}_2(\theta_m) = \langle (\theta_m - \theta_0)^2 \rangle = \frac{3\lambda^2}{\pi^2 z^2 L^2 \cos^2 \theta_0} \{ 1 + 2\sqrt{\alpha_1 \alpha_2} \cos \Delta\varphi - \\ - 15b^2 (\alpha_1 - \alpha_2)^2 / [1 + 2\sqrt{\alpha_1 \alpha_2} \cos \Delta\varphi + 15b^2 (1 - 2\sqrt{\alpha_1 \alpha_2} \cos \Delta\varphi)] \}^{-1}.$$

$$(23) \quad \tilde{k}_{R\theta} = \langle (R_m - R_0)(\theta_m - \theta_0) \rangle / \sqrt{\bar{D}_2(R_m) \bar{D}_2(\theta_m)} = \\ = (\alpha_1 - \alpha_2) [1 - 4\alpha_1 \alpha_2 \cos^2 \Delta\varphi + (1 + 2\sqrt{\alpha_1 \alpha_2} \cos \Delta\varphi)^2] / 15b^2]^{-1}; \\ z^2 = (A_{01}^2 + A_{02}^2) TL/N_0; \quad \alpha_i = A_{0i}^2 / (A_{01}^2 + A_{02}^2); \quad i = 1, 2; \\ \Delta\varphi = \varphi_{01} - \varphi_{02}; \quad b = d_0 / L \cos \theta_0.$$

При $a \gg 1$ в видимом размере двухточечного источника укладывается по крайней мере несколько линейных элементов разрешения приемной антенны. Назовем такой источник (или двухточечную цель при активной локации) разрешаемым. Тогда

$$(24) \quad \bar{D}_2(R_m) = 180\lambda^2 R_0^4 / [\pi^2 z^2 L^4 \cos^4 \theta_0 (1 + 60\alpha_1 \alpha_2 b^2)];$$

$$(25) \quad \bar{D}_2(\theta_m) = 3\lambda^2 (1 + 15b^2) / [\pi^2 z^2 L^2 \cos^2 \theta_0 (1 + 60\alpha_1 \alpha_2 b^2)];$$

$$(26) \quad \hat{k}_{R\theta} = (\alpha_1 - \alpha_2) \sqrt{15b^2 / (1 + 15b^2)}.$$

Из выражений (21)–(26) следует, что характеристики оценки местоположения двухточечного источника зависят от размеров антенны и источника, от соотношения амплитуд источника, их взаимного расположения и т. д. Кроме того, для неразрешаемого источника характеристики оценки (21)–(23) зависят от разности фаз сигналов $\Delta\varphi$.

На рис. 2 приведены зависимости нормированной дисперсии оценки дальности $\sigma = D_2(R_m) / \bar{D}_2(R_m)$ от параметра a при $b=1$ и различных значениях $\Delta\varphi$. Сплошными кривыми нанесены зависимости $\sigma(a)$, рассчитанные по точной формуле (16), а штриховыми – зависимости, рассчитанные по формуле (21) для неразрешаемого источника. Заметим, что при $\Delta\varphi = \pi/2$ формулы (16), (21), (24) совпадают. Положим, что при определении дисперсии оценки допустима погрешность порядка 20–40 %. Тогда, как следует из рис. 2 и результатов численных расчетов, при любых $\Delta\varphi$ двухточечный источник следует считать неразрешаемым и использовать формулы (21)–(23), когда $a \leq 0,2$. Если же $a \geq 1,6$, источник можно считать разрешаемым и для расчета использовать формулы (24)–(26). В общем случае отнести источник к разрешаемым или неразрешаемым можно на основании анализа модуля нормированной взаимной функции неопределенности $G_{12} = [S_{c12}^2(\mathbf{q}_0, \mathbf{q}_0) + S_{s12}^2(\mathbf{q}_0, \mathbf{q}_0)]^{1/2}$. Если $G_{12} \ll 1$, то источники разрешаются, а если $1 - G_{12} \ll 1$ – не разрешаются. В рассматриваемом примере условие разрешения сводится к требованию $G_{12} \leq 0,2$, а условие неразрешения – к требованию $1 - G_{12} \leq 0,1$. Сравним характеристики оценок местоположения рассмотренного двухточечного источника и точечного источника, расположенного в точке (R_0, θ_0) . Полагаем энергию сигнала точечного источника равной суммарной энергии сигналов двухточечного источника и для расчета дисперсии оценок $D_1(R_m)$ и $D_1(\theta_m)$ координат точечного

источника воспользуемся результатами [1, 2]. Получаем, когда $a \gg 1$,

$$(27) \quad D_1(R_m)/\bar{D}_2(R_m) = 1 + 60\alpha_1\alpha_2 b^2;$$

$$(28) \quad D_1(\theta_m)/\bar{D}_2(\theta_m) = 1 - 15b^2(\alpha_1 - \alpha_2)^2/(1 + 15b^2).$$

Хорошо известно [7, 18], что при локации сложных целей, когда отсутствует разрешение ее отдельных элементов, имеют место угловые и дальномерные шумы, которые снижают точность соответствующих оценок. В рассматриваемом случае учет кривизны волновых фронтов полей отдельных рассеивателей в зоне Френеля антенны обеспечивает дополнительное разрешение по дальности [1–3]. Согласно (27), выигрыш в точности оценки дальности двухточечного источника может быть значительным. В то же время точность оценки углового положения точечного источника оказывается несколько выше, что в силу отсутствия дополнительного разрешения по углу в зоне Френеля [1–3] объясняется действием угловых шумов цели двухточечного источника [7, 18].

Рис. 3. Схема экспериментальной установки

Рис. 4. Зависимость нормированной сигнальной функции S от относительной дальности δ

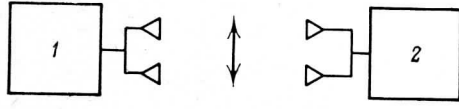


Рис. 3

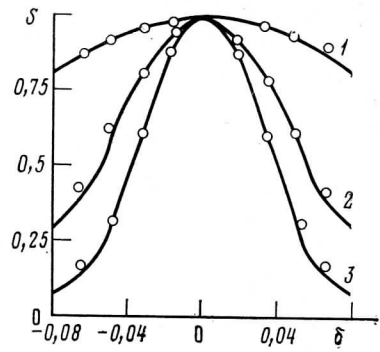


Рис. 4

для качественной проверки наличия выигрыша в точности оценки двухточечного источника по сравнению с точечным были экспериментально определены сигнальные функции по R этих источников. Схема экспериментальной установки изображена на рис. 3. Она состоит из двухточечного источника 1 (генератор и два излучателя) и приемного устройства 2 регистрирует величину напряжения как функцию положения коллекторов на продольной оси линзы. Положение коллекторов излучения однозначно связано по формуле линзы с анализируемыми элементами дальности. На рис. 4 приведены рассчитанные по формуле (9) зависимость нормированной сигнальной функции от аргумента $\delta = (R_0 - R)/R_0$. Кривая 1 представляет собой сигнальную функцию точечного источника, а кривые 2, 3 – двухточечного для значений $d/\lambda = 36$ и 56 соответственно. Там же нанесены экспериментальные значения сигнальной функции. Из рис. 4 следует, что с увеличением расстояния между излучателями сигнальная функция существенно сужается и обостряется по сравнению с сигнальной функцией точечного источника. Это качественно подтверждает возможности более точного измерения дальности двухточечного источника.

ЛИТЕРАТУРА

- Кремер И. Я., Понькин В. А. РЭ, 1975, т. 20, № 6, с. 1186.
- Кремер А. И., Трифонов А. П. РЭ, 1977, т. 22, № 8, с. 1607.
- Кремер А. И., Трифонов А. П. РЭ, 1978, т. 23, № 1, с. 67.
- Фалькович С. Е., Хомяков Э. Н. Статистическая теория измерительных радиосистем. М.: Радио и связь, 1981.
- Бакут П. А., Большаков И. А., Герасимов Б. И. и др. Вопросы статистической теории радиолокации/Под ред. Тартаковского Г. П. М.: Сов. радио, 1964, т. 2.

6. Штагер Е. А., Часовский Е. В. Рассеяние волн на телах сложной формы. М.: Сов. радио, 1974.
7. Остроумянинов Р. В., Басалов Ф. А. Статистическая теория радиолокации протяженных целей. М.: Радио и связь, 1982.
8. Сколник М. Введение в технику радиолокационных систем. М.: Мир, 1965.
9. Бечмен С. ТИИЭР, 1965, т. 51, № 8, с. 962.
10. Небабин В. Г., Сергеев В. В. Методы и техника радиолокационного распознавания. М.: Радио и связь, 1984.
11. Комиссарова Н. Н. Акуст. журн., 1981, т. 27, № 2, с. 30.
12. Куликов Е. И., Трифонов А. П. Оценка параметров сигналов на фоне помех. М.: Сов. радио, 1978.
13. Амосов А. А., Колпаков В. В. Проблемы передачи информации, 1972, т. 8, № 1, с. 3.
14. Кремер А. И., Трифонов А. П. РЭ, 1978, т. 23, № 3, с. 629.
15. Трифонов А. П., Федоров В. И., Шарапов С. И. Изв. вузов. Сер. Радиоэлектроника, 1983, т. 24, № 4, с. 48.
16. Трифонов А. П., Шарапов С. И. РЭ, 1984, т. 29, № 2, с. 242.
17. Зверев В. А. Радиооптика. М.: Сов. радио, 1975.
18. Справочник по радиолокации/Под ред. Сколника М. Пер. с англ. под ред. Трофимова К. Н. М.: Сов. радио, 1976, т. 1.

Поступила в редакцию
17.XII.1982